

## $\alpha$ -치환 툴루엔 유도체의 $^{13}\text{C}$ NMR 화학 Shift

염정록

중앙대학교 약학대학

(Received April 15, 1988)

$^{13}\text{C}$  NMR Chemical Shifts of  $\alpha$ -Substituted Toluenes

Jeong-Rok Youm

College of Pharmacy, Chung-Ang University, Seoul 156-756, Korea

**Abstract**— $^{13}\text{C}$  NMR chemical shifts for 18  $\alpha$ -substituted toluenes at high dilution in  $\text{CCl}_4$  solution have been determined. Substituents are as follows: H, Me, Et, *n*-Pr, *iso*-Pr, Ph, F, Cl, Br,  $\text{NH}_2$ ,  $\text{NHMe}$ ,  $\text{NMe}_2$ , OH, OMe,  $\text{OCOMe}$ ,  $\text{CO}_2\text{Me}$ ,  $\text{CO}_2\text{Et}$ , CN. Those chemical shifts of the methylene carbon of the toluene and the  $\alpha$ -carbon of the *n*-butane systems are correlated well. ( $r = .975$ , slope = .962)

$^{13}\text{C}$  NMR 분광법에 있어서 가장 기본적이고도 쓸모있는 것 중의 하나는 무엇보다도  $^{13}\text{C}$  화학 shift가 분자의 치환기에 의해 영향을 받는다는 것이다.  $^{13}\text{C}$  핵차폐에 대한 치환기 효과(Substituent effect)의 상관관계를 밝히는 것은 우선  $^{13}\text{C}$  NMR의 개관 및 특징을 살피는데 큰 뜻을 할 뿐 아니라 분자의 구조와 화학 shift의 관계에 대한 식견을 제공한다. 따라서 측정된 치환기 효과를 잘 이용하면 화학 shift를 예상할 수 있고, 보다 복잡한 스펙트럼을 해석하는 데도 큰 도움이 된다.<sup>1)</sup>

화학 shift에 대한 치환기 효과를 논하고자 할 때는 비치환체의 화학 shift를 기준으로 하여 치환체의 화학 shift를 나타내는 것이 편리하며 이것을 SCS(Substituent-induced Chemical Shift)라고 한다. 치환기 효과에 대한 연구 중에서도 가장 활발한 분야는 벤젠 유도체에 관한 것이다.<sup>2,3)</sup> 그것은 치환기에 의해 유도된  $\sigma$  및  $\pi$  전자분포의 섭동을 조사하는데 있어서 중심적 역할을 해온 것이 방향족 화합물이며, 벤젠이 그 기본이 되기 때문이라고 볼 수 있다. 벤젠 유도체의 SCS에 관한 data<sup>2,3,5,6)</sup>는 질과 양적으로 모두 풍부하며 벤젠 유도체의 SCS와 Hammett형의 치환기 정수( $\sigma, \sigma_i, \sigma_x, \sigma_p^0, \sigma_p^+, \sigma_I, \sigma_R$  등)의 상관 관계를 이용한 분자의 구조 해석 또는 반응

에 있어서의 Linear Free Energy Relationship에 대한 연구가 활발한 것은 주지의 사실이다.<sup>3,6~19)</sup>

한편  $\alpha$ -치환 툴루엔 유도체는 모노 치환 벤젠 유도체와 비교할 때 벤젠 핵의 *ipso* 위와 치환기 사이에 methylene이 개재되어 있다는 구조적 특징을 갖는 바 이로 인한 치환기의 전자적 효과의 전달이 methylene에 의해 어떻게 변화하는가는 자못 흥미로운 것이라고 할 수 있다.

$\alpha$ -치환 툴루엔 유도체의  $^{13}\text{C}$  화학 shift에 관한 체계적인 연구는 L. Zetta 등<sup>20)</sup>에 의해 비롯되었으나 모노 치환 벤젠 유도체의 경우와는 비교할 수 없을 정도로 연구례가 적을 뿐 아니라 대부분의 data가 용매, 농도 등이 서로 다른 조건에서 측정되었으며 치환기의 종류도 소수에 불과하고, 화학 shift의 정확성도 소�数점 첫째 자리에 머무는 정도로 신뢰성이 높은 data가 극히 제한적이다.<sup>3,20~22)</sup>

따라서 치환기 효과를 구명하는데 필수적 요건이라고 할 수 있는 다종의 치환 유도체를 동일한 조건, 즉 동일한 기기, 용매, 농도, 온도 등에서 측정한 균질하고 정확도가 높은 data가 절실히 요구되는 바  $\alpha$ -치환 툴루엔 유도체 18종에 대해  $^{13}\text{C}$  NMR 스펙트럼을 측정하고 각 탄소별로 화학 shift를 귀속하였다. 시료를 측정함에 있어서 용매 효과를 극소화 하기 위해 비극성이

며 자기적으로 동방성인 사염화탄소를 용매로 하여 저농도 용액을 만들어 사용하였다.

그리고 모노 치환 벤젠 유도체의 각 환탄소 및  $\alpha$ -치환 *n*-부탄 유도체의  $\alpha$  위 탄소와 화학 shift의 변동을 비교 검토하였다.

### 실험 방법

시료로 사용한  $\alpha$ -치환 톨루엔 유도체는 東京化成의 시판 최순품을 사용하였으며 benzyl fluoride만은 東京化成에 특별 주문하여 사용하였다. 용매로 사용한 사염화탄소는 東京化成의 NMR 용을 사용하였으며 내부 표준물질로 쓴 TMS는 E. Merck제를 썼다.

$^{13}\text{C}$  NMR 스펙트럼의 측정은 Hitachi R900 FT 고분해능 NMR Spectrometer(22.6MHz, HITAC-1011 minicomputer 부속)와 시료관으로 8mm $\phi$ 관을 사용하였으며 일반적으로 complete proton decoupling법에 의해 측정하되 필요한 경우에는

off resonance 또는 selective resonance decoupling 법을 행하였다. 기타 측정 조건은 다음과 같다.

solvent :  $\text{CCl}_4$

concentration : 0.4M

spectral range : 200ppm

data points : 16K

pulse interval : 1.6sec

pulse width : 12.5 $\mu\text{sec}$ (45° pulse angle)

temperature : 36°C

field lock :  $^{19}\text{F}$  external lock

number of scans : 128~4096 times

### 결과 및 토론

$\alpha$ -치환 톨루엔 유도체의  $^{13}\text{C}$  화학 shift는 Table I과 같다.

화학 shift의 귀속은 다음과 같이 하였다. 우선 벤젠환의  $\text{C}_{ipso}$ 는 다른 환탄소와 비교할 때, 결합된 수소가 없으므로 peak intensity가 가장

Table I- $^{13}\text{C}$  Chemical shifts<sup>a)</sup> of  $\alpha$ -substituted toluenes<sup>b)</sup>

No.	R	$\text{C}_{ipso}$	$\text{C}_{ortho}$	$\text{C}_{meta}$	$\text{C}_{para}$	$\text{Ph}-\text{CH}_2$	Other(s)
1	H	136.78	128.54	127.79	124.94	21.27	
2	Me	143.25	127.34	127.86	125.22	28.70	5.52( $\text{CH}_3$ )
3	Et	141.64	127.76	127.97	125.24	37.87	24.30( $\text{CH}_2$ ), 13.63( $\text{CH}_3$ )
4	<i>n</i> -Pr	141.88	127.94	127.79	125.21	35.50	33.47( $\text{CH}_2$ ), 22.11( $\text{CH}_2$ ), 13.87( $\text{CH}_3$ )
5	<i>iso</i> -Pr	140.67	128.60	127.64	125.31	45.33	29.90(CH), 22.29( $\text{CH}_3$ )
6	Ph	140.41	128.51	127.97	125.61	41.74	
7	F	136.12	126.76	128.04	128.04	83.39	
8	Cl	137.11	128.15	128.15	127.79	45.36	
9	Br	137.31	128.63	128.21	127.79	32.36	
10	$\text{NH}_2$	143.07	126.63	127.88	126.15	46.26	
11	NHMe	139.96	127.64	127.73	126.36	55.79	35.72( $\text{CH}_3$ )
12	NMe <sub>2</sub>	138.67	128.42	127.64	126.45	64.03	45.09( $\text{CH}_3$ )
13	OH	140.71	126.50	127.86	126.83	64.27	
14	OMe	138.04	127.77	127.05	126.93	74.04	57.26( $\text{CH}_3$ )
15	OCOMe	135.95	128.00	128.00	127.61	65.47	20.37( $\text{CH}_3$ ), 168.49(CO)
16	CO <sub>2</sub> Me	133.67	128.81	128.03	126.53	40.75	51.12( $\text{CH}_3$ ), 169.86(CO)
17	CO <sub>2</sub> Et	133.82	128.78	127.97	126.48	40.79	59.78( $\text{CH}_2$ ), 14.08( $\text{CH}_3$ ), 169.44(CO)
18	CN	129.98	128.66	127.49	127.49	23.19	116.11(CN)

a) ppm relative to internal TMS (accuracy  $\pm 0.03\text{ppm}$ )

b) 0.4M  $\text{CCl}_4$  solution

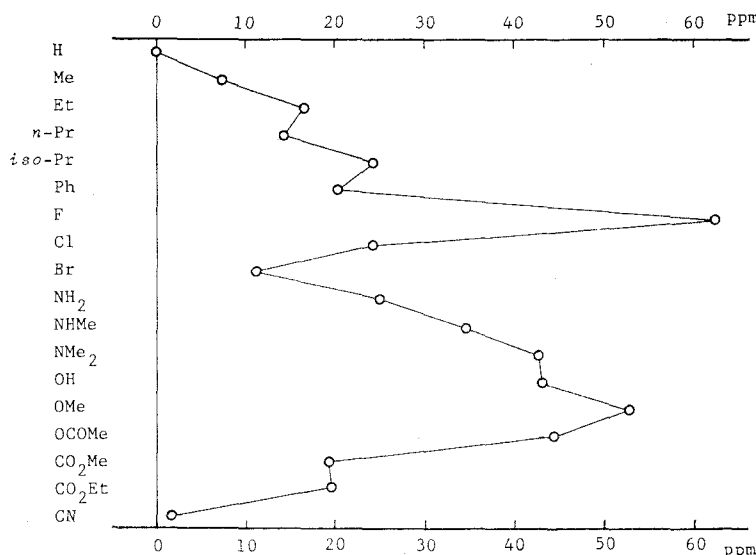


Fig. 1-<sup>13</sup>C Substituent-induced chemical shifts of Ph-CH<sub>2</sub> of  $\alpha$ -substituted toluene derivatives.

작게 나타나며 치환기에 가까이 위치하고 있어서 SCS의 변동이 가장 크고 저자장 쪽에 나타나기 때문에 쉽게 판별할 수 있다. 한편 C<sub>para</sub>도 비교적 쉽게 식별할 수 있는데 그 깊은 C<sub>meta</sub> 또는 C<sub>ortho</sub>의 peak intensity 보다 약 절반 정도 크기로서 일반적으로 환탄소중에서 가장 고자장 쪽에 출현하기 때문이다. C<sub>meta</sub>와 C<sub>ortho</sub>는 SCS의 변동이 극히 작은 것이 특징이다. 따라서 C<sub>meta</sub>와 C<sub>ortho</sub>를 구별하기는 쉽지 않으나 proton non-decoupling 조건에서 측정하거나 문헌<sup>3,6,22)</sup>을 대조하여 귀속하였다. 벤젠환에 결합된 methylene의 탄소는 귀속하는데 별다른 어려움이 없었다. 다른 치환기와 달리 benzyl fluoride는 <sup>19</sup>F을 함유하고 있으므로 <sup>13</sup>C와 <sup>19</sup>F 사이에 coupling을 하고 있다. Benzyl fluoride의 <sup>13</sup>C와 <sup>19</sup>F 사이의 coupling constant는 다음과 같다.

$$J_{\text{CCH}_2-\text{F}} = 169.5 \text{ Hz}, J_{\text{C}_{ipso}-\text{F}} = 17.7 \text{ Hz}, \\ J_{\text{C}_{ortho}-\text{F}} = 6.1 \text{ Hz}.$$

Fig. 1은  $\alpha$ -치환 툴루엔 유도체에 있어서 치환기와 벤젠핵 사이에 끼어있는 methylene의 <sup>13</sup>C SCS의 변동을 그래프로 나타낸 것인데 치환유도체 모두가 툴루엔의 methylene 탄소보다 저자장 쪽으로 shift하고 있음을 알 수 있다. Methylen에 결합된 치환기의 첫 번째 원소가 탄소일

때보다 질소, 산소일 경우에 더 큰 폭으로 shift 했으며 일반적으로 알킬기가 커질수록 저자장 쪽으로 shift하는 경향을 보였다. 치환기중에서 가장 SCS가 큰 것은 -F이고, 전자구인성기(electron acceptor)인 -CN이 가장 작은 값을 보였다.

Fig. 2는  $\alpha$ -치환 툴루엔 유도체의 각 환탄소별 SCS를 보인 것이다. 치환기에 따른 SCS의 변동 폭은 전체적으로 보았을 때 C<sub>ipso</sub>의 경우에 가장 크게 변화하고 있으며, 다음을 C<sub>para</sub>, C<sub>ortho</sub>, C<sub>meta</sub>의 순으로 잇고 있다. 치환기별로 보았을 때 위의 순서는 무시되는 경우가 많으며 특히 할로겐의 경우는 C<sub>ipso</sub>의 SCS가 작은 반면에 C<sub>para</sub>의 SCS가 큰 것이 눈길을 끈다. C<sub>para</sub>는 모든 치환기에 있어서 똑같은 방향, 즉 저자장 쪽으로 shift하고 있으며 C<sub>meta</sub>는 0을 중심으로 아주 소폭의 변동을 보이고 있다.

Fig. 3은  $\alpha$ -치환 툴루엔 유도체의 methylene 탄소와  $\alpha$ -치환 n-부탄 유도체의  $\alpha$ 위 탄소에<sup>23)</sup> 대해 치환기에 따른 화학 shift의 변동을 plot한 것이다. Fig. 3의 숫자는 Table I의 치환기에 대한 번호를 나타낸 것이다. 두 계열 모두 치환기에 직접 결합된 탄소라는 점이 공통이다. 따라서 치환기의 영향을 직접 받기 때문에 화학 shift의 변동폭이 매우 큰 것이 특징이다. 두 계

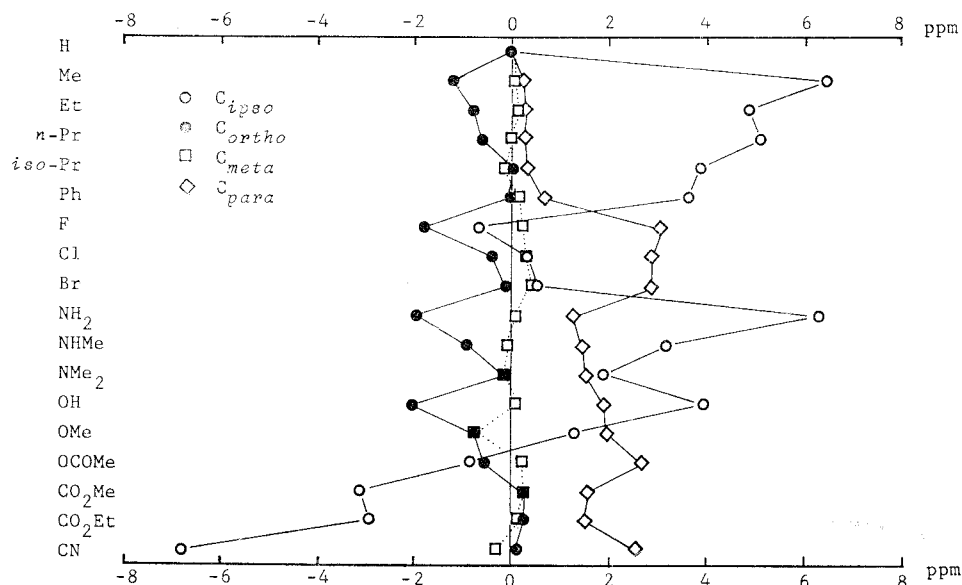


Fig. 2- $^{13}\text{C}$  Substituent-induced chemical shifts of ring carbons of  $\alpha$ -substituted toluene derivatives.

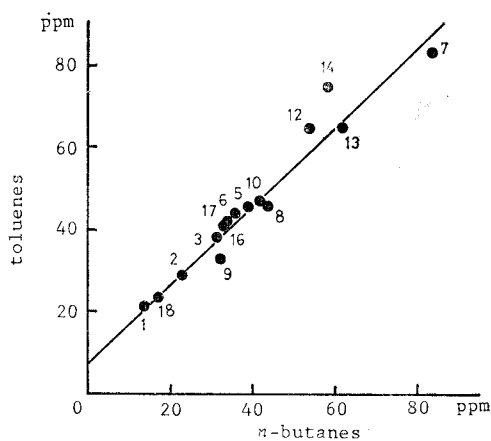


Fig. 3- Plot of  $^{13}\text{C}$  chemical shifts of  $\alpha$ -carbons for  $\alpha$ -substituted toluenes vs.  $\alpha$ -substituted n-butanes.

열간에는 비교적 높은 상관관계 ( $r=0.975$ ,  $Y=0.962X+7.61$ )를 보이고 있는데, 보다 더 일직선 상에 분포하지 않는 이유는  $\alpha$ -치환 툴루엔 유도체의 경우에 존재하는 벤젠핵의  $\pi$ 전자 효과가 지방족인  $\alpha$ -치환 n-부탄 유도체의  $\text{C}_2\text{H}_5-$ 에는 결여되어 있기 때문이라고 볼 수 있다.

Fig. 4~7은  $\alpha$ -치환 툴루엔 유도체의 각 환탄소에 있어서 치환기에 따른 화학 shift의 변동을

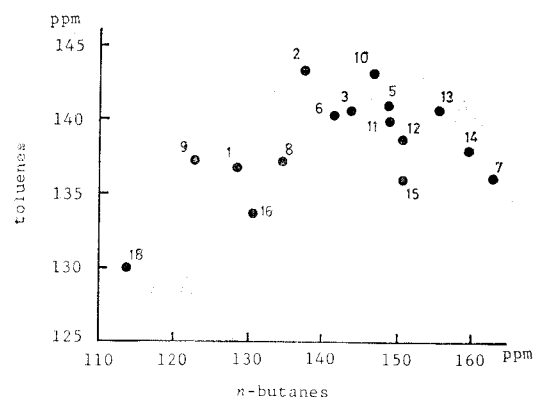


Fig. 4-Plot of  $^{13}\text{C}$  chemical shifts of  $\text{C}_{ipso}$  for  $\alpha$ -substituted toluenes vs. monosubstituted benzenes.

모노 치환 벤젠 유도체의 해당 환탄소의 화학 shift<sup>6)</sup>와 비교해 놓은 것이다. 일반적으로 모노 치환 벤젠 유도체의 화학 shift의 변동량에 비하여  $\alpha$ -치환 툴루엔 유도체의 경우가 작은 것으로 나타났는데 이것은  $\alpha$ -치환 툴루엔 유도체에 있어서 일어나는 치환기 효과가 벤젠핵에 직접 영향을 미치는 것이 아니라 methylene을 경유하기 때문이다.  $\text{C}_{ipso}$ 를 예로 들어보았을 때 알킬이나  $-\text{CN}$ ,  $-\text{NH}_2$  등이 모노 치환 벤젠체에서와 마찬

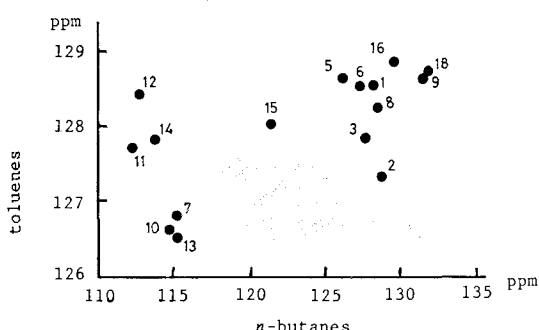


Fig. 5-Plot of  $^{13}\text{C}$  chemical shifts of  $\text{C}_{\text{ortho}}$  for  $\alpha$ -substituted toluenes vs. monosubstituted benzenes.

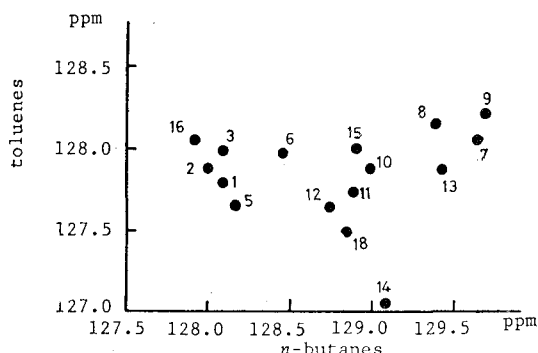


Fig. 6-Plot of  $^{13}\text{C}$  chemical shifts of  $\text{C}_{\text{meta}}$  for  $\alpha$ -substituted toluenes vs. monosubstituted benzenes.

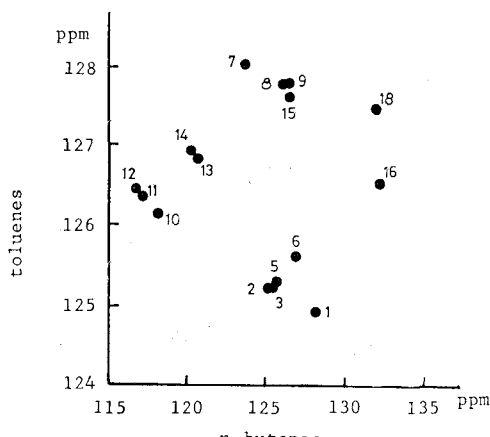


Fig. 7-Plot of  $^{13}\text{C}$  chemical shifts of  $\text{C}_{\text{para}}$  for  $\alpha$ -substituted toluenes vs. monosubstituted benzenes.

가지로  $\alpha$ -치환 톨루엔계의 경우도 화학 shift가 비교적 큰 폭으로 변동하였음에 비하여, 할로겐

은 모노 치환 벤젠계에서는 상당히 큰 변동폭 (약 40ppm)을 보였음에도 불구하고  $\alpha$ -치환 톨루엔계에서는 거의 변화를 나타내지 않고 있는 점이 주목을 끌고 있다.

전반적으로 고찰할 때 모노 치환 벤젠계와  $\alpha$ -치환 톨루엔계에 있어서 벤젠핵의 환탄소별 화학 shift의 상관관계는 거의 없는 것으로 나타났다. 이것은 결국 두 계에 있어서 치환기 효과가 methylene의 개재 여부에 따라 그 전달과정의 특징이 달라지는 것을 반증하는 것이며 이를 밝히므로서  $\alpha$ -치환 톨루엔 유도체의 치환기 효과를 설명할 수 있게 됨은 물론 나아가 모노 치환 벤젠 유도체에 대한 치환기 효과를 극명히 밝히는 계기가 될 것으로 기대되어 앞으로의 과제로 삼고자 한다.

#### 감사의 말씀

이 논문은 1987년도 문교부 학술연구 조성비 지원에 의하여 이루어졌음을 밝히며 이에 감사드린다.

#### 문학

- Maciel G.E.: *Topics in Carbon-13 NMR Spectroscopy*, Vol. 1, Chap. 2., Wiley-Intersciences, New York, p.53. (1974).
- Spiesecke H. and Schneider W.C.: Substituent Effects on the  $^{13}\text{C}$  and  $^1\text{H}$  Chemical Shifts in Monosubstituted Benzenes, *J. Chem. Phys.* 35, 731 (1961).
- Ewing D.F.:  $^{13}\text{C}$  Substituent Effects in Monosubstituted Benzenes. *Org. Magn. Reson.* 12, 499 (1979).
- 稻本直樹, 増田昭三, 置換基効果の新知見と有機電子論, 化學の領域 33, 4 (1979).
- Miyajima G., Sasaki Y. and Suzuki M.: Carbon-13 Nuclear Magnetic Resonance Spectroscopy. V. Studies on Carbon-13 Magnetic Resonance Spectra in Aromatic and Heteroaromatic Systems. (I). Mono-and Disubstituted Benzene Derivatives. *Chem. Pharm. Bull.* 19, 2301 (1971).
- Mishima M., Fujio M., Takeda R. and Tsuno

- Y.: Carbon-13 NMR Chemical Shifts of Mono-substituted Benzenes. *Memoirs of the Faculty of Science, Kyushu University Ser. C.* 11, 97 (1978).
- 7) Dewar M.J.S., Golden R. and Harris J.M.: Substituent Effects. X. An improved Treatment (FMMF) of Substituted Benzenes. *J. Amer. Chem. Soc.* 93, 4187 (1971).
- 8) Bromilow J., Brownlee R.T.C., Topsom R.D. and Taft R.W.: Nonadditive Carbon-13 Substituent and Solvent Effects in Substituted Benzenes. *J. Amer. Chem. Soci.* 98, 2020 (1976).
- 9) Hoefnagel A.J., Hoefnagel M.A. and Wepster B.M.: Substituent Effects. 5. Resonance Saturation Effects in Anilines Having a  $\pi$ -Donor Group in Para Position. *J. Amer. Chem. Soci.* 98, 6194 (1976).
- 10) Reynolds W.F.: An Approach for Assessing the Relative Importance of Filled and  $\sigma$  Inductive Contributions to Polar Substituent Effects based on the Non Proportionality of Filled and  $\sigma$  Inductive Substituent Constants. *J. Chem. Soc. Perkin Trans II*, 985 (1980).
- 11) Brownlee R.T.C. and Craik D.J.: A Theoretical Investigation of the  $\pi$ -Polarization Mechanism. The Importance of Localized and Extended Polarization. *J. Chem. Soc. Perkin Trans II*, 760 (1981).
- 12) Guillaume F., Seguin J.P., Nadjo L., Uzan R., Membrey F., and Doucet J.P.: Substituent-Substituent Interactions in Carbon-13 Substituent Chemical Shifts of Phenols and Phenoxides. *J. Chem. Soc. Perkin Trans II*, 1139 (1984).
- 13) Bromilow J. and Brownlee R.T.C.: Investigating the  $\sigma^*$  Resonance Scale Using C-13 Nuclear Magnetic Resonance Shifts. Graphical Representation of the Dual Substituent Parameter Equation. *J. Org. Chem.* 44, 1261 (1979).
- 14) Reynolds W.F. and Topsom R.D.: Field and Resonance Substituent Constants for Aromatic Derivatives: Limitations of Swains Revised F and R constants for Predicting Aromatic Substituent Effects. *J. Org. Chem.* 49, 1989 (1984).
- 15) Hoefnagel A.J., Costerbeek W. and Wepster B.M.: Substituent Effects. 10. Critique of the "Improved Evaluation of Field and Resonance Effects" Proposed by Swain et al. *J. Org. Chem.* 54, 1993 (1984).
- 16) Charton M.: The Validity of the Revised F and R. Electrical Effect Substituent Parameters. *J. Org. Chem.* 49, 1997 (1984).
- 17) Afanas'ev I.B. and Trojanker V.L.: Correlation of para Substituent Carbon-13 Chemical Shifts in Aromatic Compounds using Polar (inductive) and Resonance Constants which are identical for Aliphatic and Aromatic Compounds. *Org. Magn. Reson.* 18, 22 (1982).
- 18) Happer D.A.R.: The Application of the Hammett Equation to  $^{13}\text{C}$  N.M.R. Spectrometry. IV. Solvent Effects. *Aust. J. Chem.* 35, 21 (1982).
- 19) Youm J.R., Takai H. and Sasaki Y.: Studies on Carbon-13 magnetic Resonance Spectroscopy. XVIII. Elucidation of the Carbon-13 Substituent-induced Chemical Shifts of Monosubstituted Benzenes by Means of a Novel Substituent Entropy Constant  $\sigma_s^*$ . *Chem. Pharm. Bull.* 32, 2140 (1984).
- 20) Zetta L. and Gatti G.:  $^1\text{H}$  and  $^{13}\text{C}$  NMR Spectra of Benzyl Compounds. *Org. Magn. Reson.* 4, 585 (1972).
- 21) Proulx T.W. and Smith W.B.: The Carbon-13 NMR Spectra of Phenyl-substituted Methanes, Ethanes, and Ethylenes. *J. Magn. Reson.* 23, 472 (1976).
- 22) Shapiro M.J.:  $\alpha$ -Substituted Toluenes and 3-Substituted Propenes. Evaluation of Substituent Effects via Carbon-13 Nuclear Magnetic Resonance Spectroscopy. *J. Org. Chem.* 41, 3197 (1976).
- 23) 徐素蘭, 博士學位論文, 大阪大學(1984).